

1. まえがき

装甲車両が土の上で沈下を生じながら走行あるいは作業する場合、沈下によって土に関係する走行抵抗が発生する。沈下による走行抵抗は車両の特性によるものももちろんあるが、それ以上に土の性質に左右されることはある。従来、土に関係する走行抵抗として、排土抵抗と締固め抵抗と考えられてきた。しかし現象をよく観察していくと、車両のクリアランス以下の沈下においては、排土抵抗らしきものは生じていいようである。一方、締固め抵抗については、土が垂直方向に圧縮されると考えるより、ある方向に圧縮されると考えた方が現実的であろう。本報告は、土のトラフィカビリティーを評価するための簡易な平板沈下実験にモチベートして、車両の接地圧と沈下量との関係を一つの双曲線と仮定し、これにモチベートして車両の履帯によって土が圧縮される方向を考慮した締固め仕事の考察から、装甲車両の沈下走行時に生ずる走行抵抗について検討を加えたものである。

2. 走行抵抗の発生機構

後から示すであろう土のトラフィカビリティー評価のための簡易な平板沈下実験にもとづいて、履帯下の接地圧 P (kg/cm^2) と沈下量 Z (cm) との関係が Fig.1 に示すように次式で表わせると仮定しよう。

$$P = \frac{Z}{A + BZ} \quad \dots (1)$$

式(1)において、 $Z \rightarrow \infty$ のときの P を考えると、この P は土の極限支承力 P_0 を意味し、 $P_0 = 1/B$ と表わせる。また、 $Z \rightarrow 0$ のときの dP/dZ を考えると、これは曲線の原点における接線勾配 k を意味し、 $k = 1/A$ となる。したがって、式(1)は k と P_0 を用いて次のように表わすことができる。

$$P = \frac{k P_0 Z}{P_0 + k Z} \quad \dots (2)$$

式(1)、(2)は Z/P と Z の関係でプロットすると直線として表わされる。

履帯下の接地圧として、不連続な三角形分布を仮定し、各転輪下に生ずる平均最大接地圧 P_{mm} が次の関係で表わせられるものとする。¹⁾

$$P_{mm} = \frac{1.25 W_t}{Z n b \sqrt{d \cdot p}} \quad \dots (3)$$

ここに、 W_t : 車両重量 (kg)、 n : 片側転輪数、 b : 履帯の幅 (cm)、 d : 転輪の直径 (cm)、 p : 履板のピッチ (cm)。

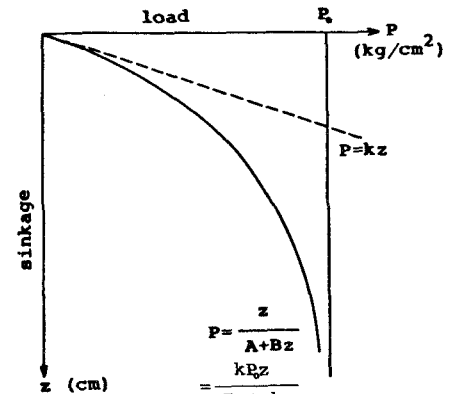


Fig. 1 Schematic relationship between load and sinkage

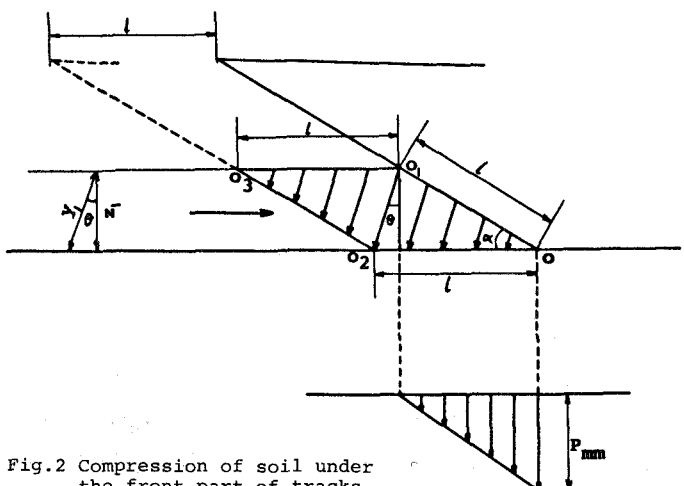


Fig. 2 Compression of soil under the front part of tracks

以上のような仮定のもとに走行抵抗の発生機構について考えてみよう。いま、履帶前面による土の圧縮の形態としてFig.2のようなモデルを考える。すなわち車両が l (cm)だけ前進する間に、履帯接触部 D_1 は D_2 へ、また D_2 面は D_3 まで圧縮されるであろう。Fig.2のように車両がしだけ前進する間に土の圧縮のために必要な仕事は、Fig.3に示す土の圧縮に必要な仕事に等しい。Fig.3の微小要素 dl が dy だけ沈下(圧縮)する間の仕事 dW は、

$$dW = 2bPdl dy \cos\theta = 2bPdl dz \quad \dots (4)$$

車両が l だけ前進する間の土の圧縮のための仕事、すなわちFig.3に示す仕事 W は、

$$\begin{aligned} W &= \int_0^l \int_0^{z_1} dW \\ &= \frac{2bl}{B^2} \left\{ Bz_1 - A \cdot \cos\theta \cdot \ln \left(1 + \frac{B}{A \cos\theta} z_1 \right) \right\} \quad \dots (5) \end{aligned}$$

一方、車両が走行抵抗 R (kg)で前進しているとすると、

$$R \cdot l = W \quad \dots (6)$$

したがって

$$R = \frac{2b}{B^2} \left\{ Bz_1 - A \cdot \cos\theta \cdot \ln \left(1 + \frac{B}{A \cos\theta} z_1 \right) \right\} \quad \dots (7)$$

式(7)に

$$\left. \begin{aligned} P_{mm} &= \frac{z_1}{A \cos\theta + Bz_1} \\ A &= \frac{1}{k} \\ B &= -\frac{1}{P_0} \end{aligned} \right\} \quad \dots (8)$$

を入れると、

$$R = \frac{2b \cos\theta P_0^2}{K} \left\{ \frac{P_{mm}}{P_0 - P_{mm}} - \ln \frac{P_0}{P_0 - P_{mm}} \right\} \quad \dots (9)$$

走行抵抗 R は式(9)のように土の性質と車両の諸元によって表わされることになる。

3. 実験的考察

3.1 実験コース

走行抵抗の実験はよく管理された砂質シルトの5種類の実験コースにおいて行なわれた。まず各コースについて、土のトラフィカビリティーを評価するための簡易な平板載荷装置(Fig.4)を用いて、コースの K 、 P_0 を求めるための沈下実験を行った。用いた平板の大きさは 25×10 cmである。Fig.4に示す装置は小型ドーザの後部にと

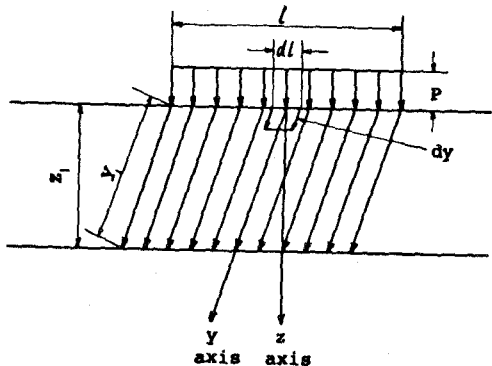


Fig.3 Equivalent soil compression to that under front part of tracks

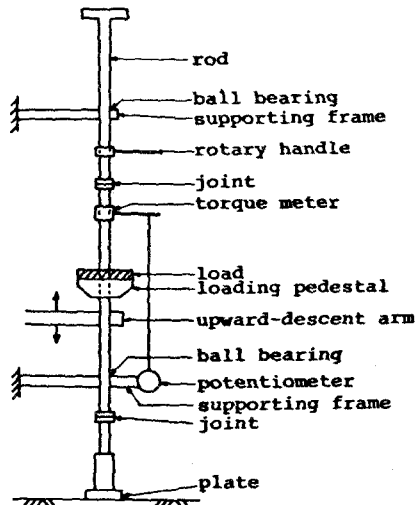


Fig.4 Schematic diagram of the loading test apparatus

りつけて任意地点の測定が可能なようになつてゐる。

測定結果の一例を示したのがFig.5である(コース3、4の例)。結果は Z/P と Z との関係で示されており、両者はほぼ直線関係にあることがわかる。他の実験コースについても同様な結果が得られている。すなはち実験コースの接地圧と沈下量との関係はすでに示した式(1), (2)の形で表わせうることがわかる。このような直線関係から各コースの k , P_0 の値を知ることができ、求められた値が表-1に示されている。

Table 1 k and P_0

test course	k (kg/cm ³)	P_0 (kg/cm ²)
1	0.37	4.5
2	0.31	4.3
3	0.22	4.8
4	0.21	3.9
5	0.20	3.3

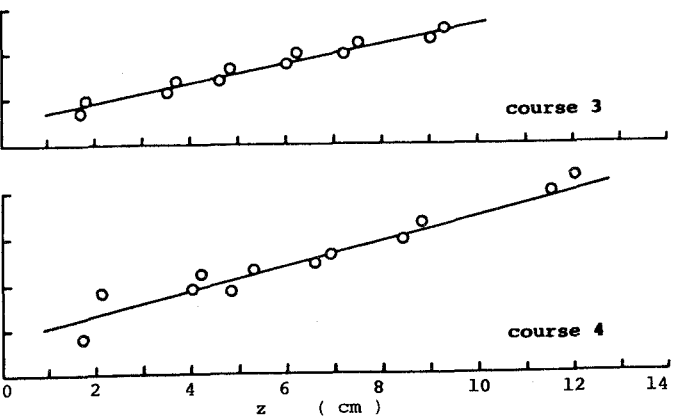


Fig.5 Plots of z/P against z

Table 2 Test vehicle parameters

vehicle weight (W_t)	7500 kg
length of track in contact with ground(L)	232 cm
track width (b)	25 cm
track pitch (p)	9.5 cm
number of wheel station in one track(n)	5
outer diameter of wheel (d)	47 cm
nominal ground pressure(P_{mean})	0.65 kg/cm ²
approach angle (α)	33 deg.

3.2 走行抵抗測定実験

実験に用いた車両は表-2のような諸元をもつ独立懸架方式の装軌車両である。この車両を先に述べた実験コース上を約4 km/hrの速度で走行させ、その時の車両の駆動軸トルクなどを測定した。測定された軸トルクを力(走行抵抗)に換算し、沈下によって生ずる走行抵抗をも含むすべての走行抵抗を求めた。また、沈下の生じない状態で車両を走行させ、その時の走行抵抗を測定し、両者の差から沈下にもとづく走行抵抗を求めた。

3.3 実験結果と考察

Fig.6は走行後のめだちの沈下量について、車両と土のパラメータから予測された値(Z_1)と実測値(Z_{1r} , Z_{1l})とを比較したものである。各コースとも実測値はかなりバラつていい。また、左右の履帯について沈下量の差がみられる。左側の沈下が右のそれより大きい。これらバラつきや左右の差は、十分注意してコースを管理したにもかかわらず、コースに不均性があったことに原因してゐると思われる。

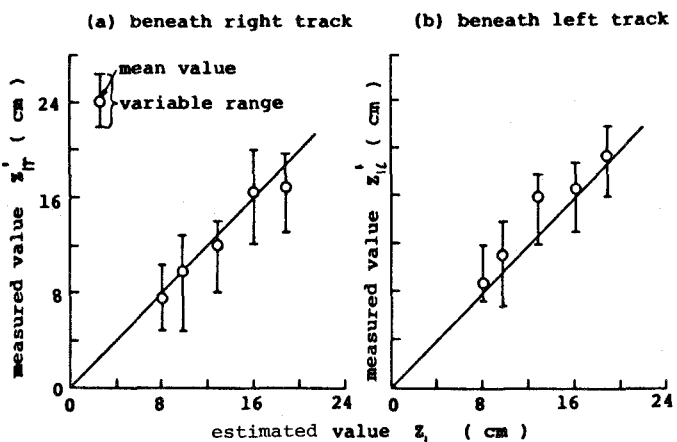


Fig.6 Relationship between estimated and measured rut sinkage

Fig. 7 は左右の駆動軸トルクから求められた実測の走行抵抗 R'_r, R'_l と予測された走行抵抗 $R/2$ (両側の走行抵抗が等しいと考え、全走行抵抗の $1/2$ をとった) とを比較したものである。わだちの沈下量測定結果と同様に各コースともバラつきが大きく、また左右履帶下によって走行抵抗に差がみられる。

Fig. 8 は車両の沈下によって生じた全走行抵抗の予測値 R と実測値 R' とを比較したものである。各コースとも実測値にはかなりのバラつきがあり、また走行抵抗の小さいところでは、予測値より実測値の方が大きく、走行抵抗の大きさ範囲では逆の傾向を示している。このことは当然のことながら Fig. 7 に示した左右別の走行抵抗についてもいえる。この原因については、接地圧～沈下量関係の仮定の不適によるのか、あるいは走行抵抗の考え方の誤りによるのか、実験精度の向上とともにさらに考察する必要があろう。

4. あとがき

履帶下の土の圧縮の仕事にもとづく考察から装輪車両の沈下による走行抵抗について検討してきた。以上に示した考察から走行抵抗の発生機構はほぼ説明しうると思われるが、すでに示したように不明な点も多い。たとえば接地圧～沈下量との関係に関する仮定および両者の関係を求めるための実験装置の妥当性などである。これら土の定数を求めるための検討を加えることおよび走行抵抗の測定実験の精度向上などが重要な問題であろう。

最後に実験にご協力いただいた防衛省第4研究所の機器部、上田の両氏に感謝する次第である。

Reference

- D. Rowland ; Tracked vehicle ground pressure and its effect on soft ground performance, Proc. of 4th Int. Conf. on The Mechanics of Soil-Vehicle systems, Vol. 1 (1972)

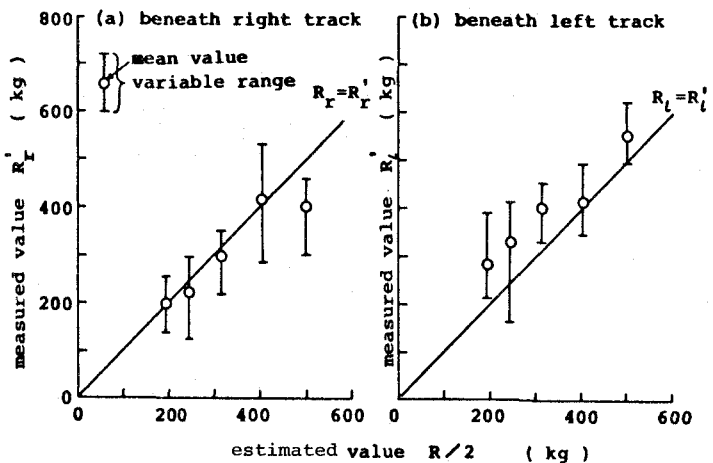


Fig. 7 Relationship between estimated and measured external resistance for both tracks

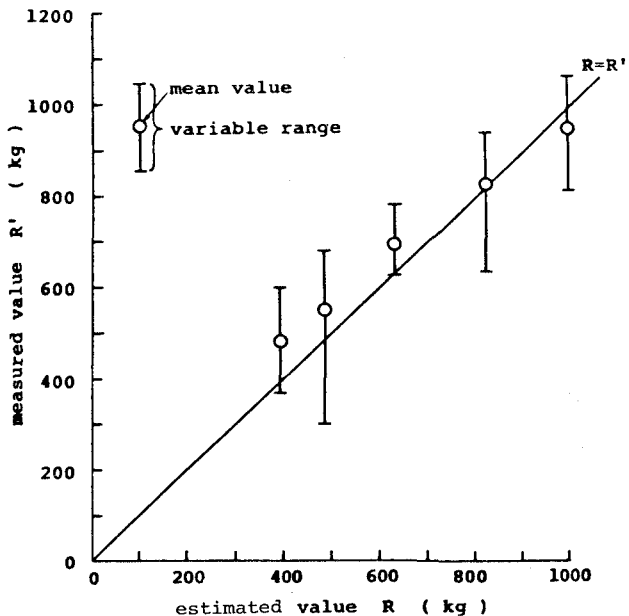


Fig. 8 Relationship between estimated and measured total external resistance